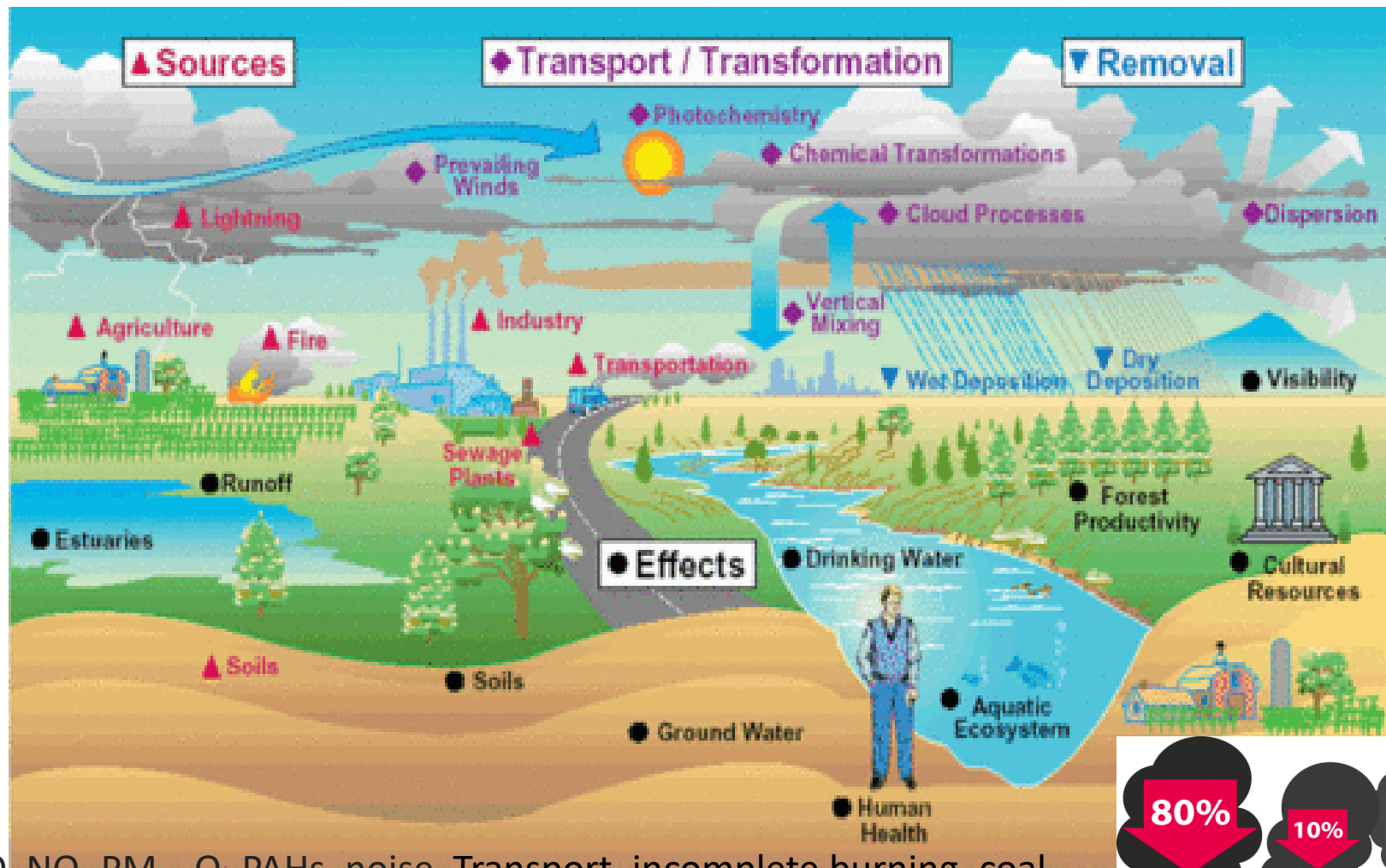


A quick (~ 2 hours searches) review the published references about pollution, Mongolia

Tamir Puntsag
Ulaanbaatar Mongolia
27 June 2018

ХҮРЭЭЛЭН БАЙГАА АГААР, ТҮЛШНИЙ ШАТАЛТААС ЯЛГАРАХ БОХИРДУУЛАХ БОДИС/ ambient air pollutants sources, transformation and sinks

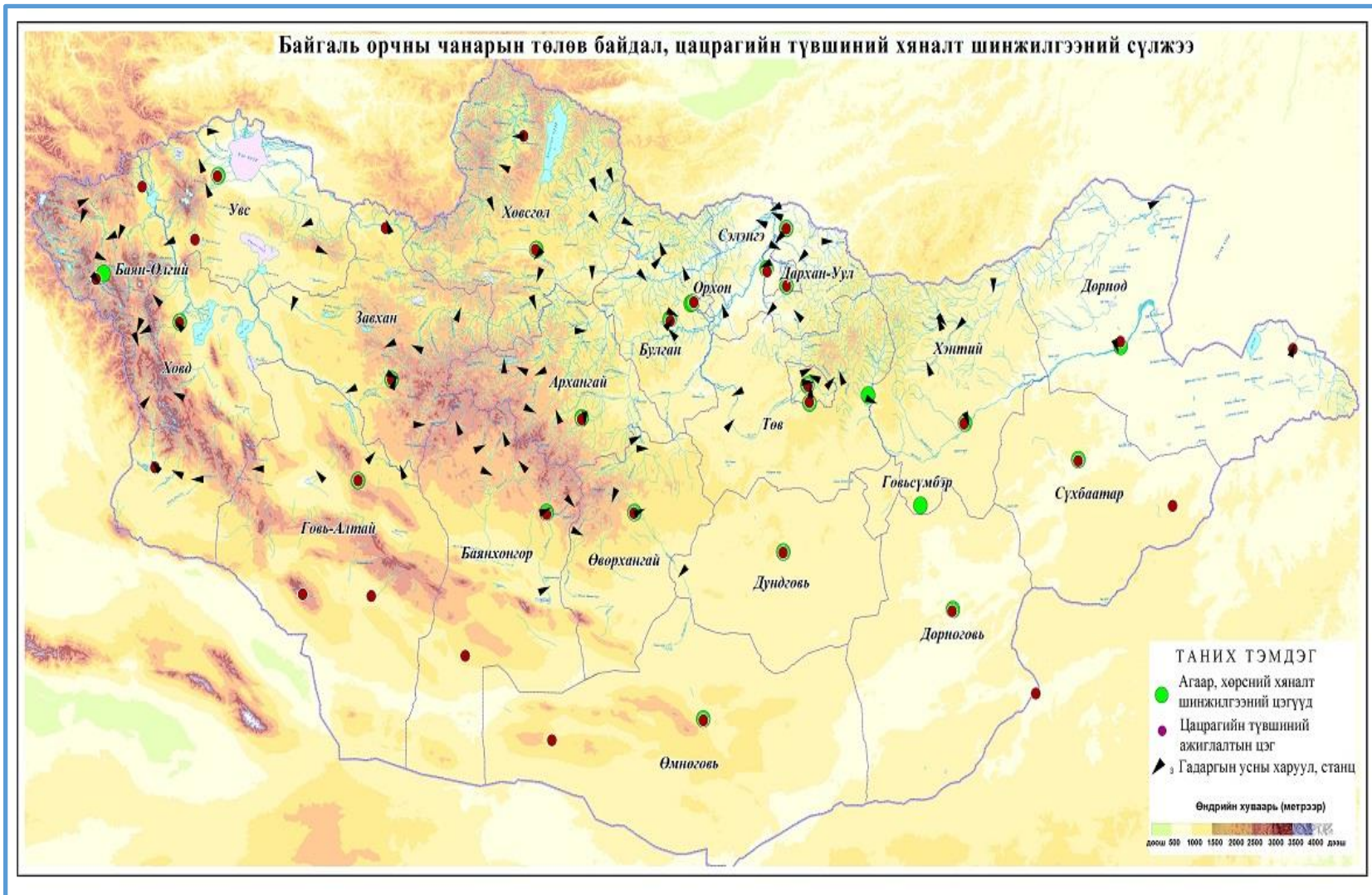


CO, NO_x, PM₁₀, O₃, PAHs, noise Transport, incomplete burning, coal burning

VOC- Industries, solvents Asbestos – Power generation, construction



БАЙГАЛЬ ОРЧНЫ ХЯНАЛТ ШИНЖИЛГЭЭНИЙ УЛСЫН СҮЛЖЭЭ/ NATIONAL ENVIRONMENTAL MONITORING (AIR SOIL AND WATER) STATIONS,



7/10/2018

AIR AND SOIL MONITORING STATIONS

RADIATION

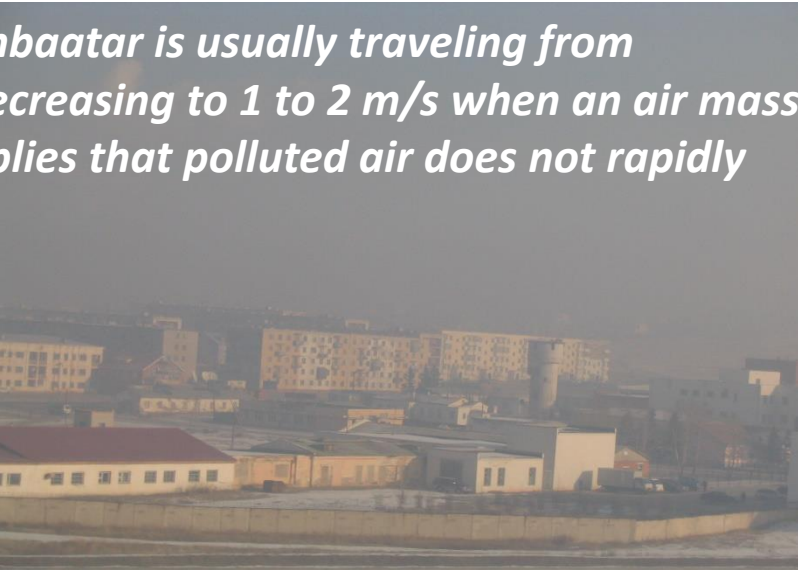
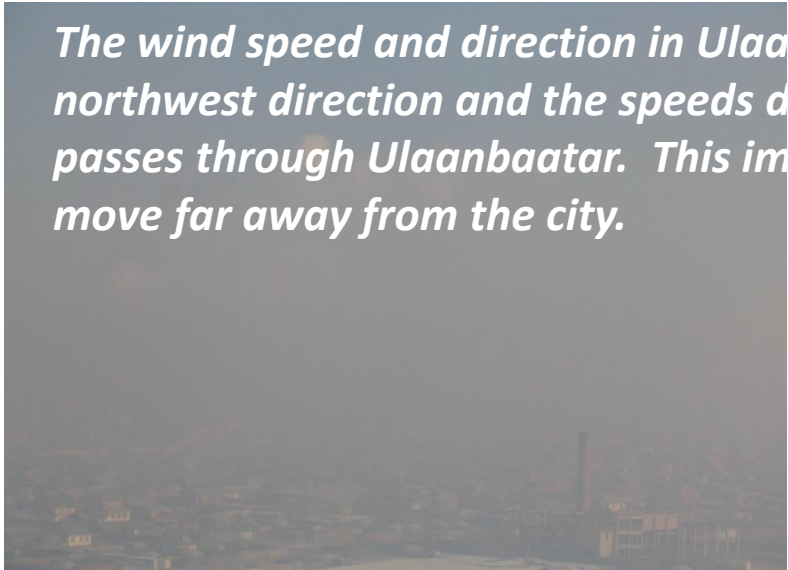
Surface water monitoring sites and stations



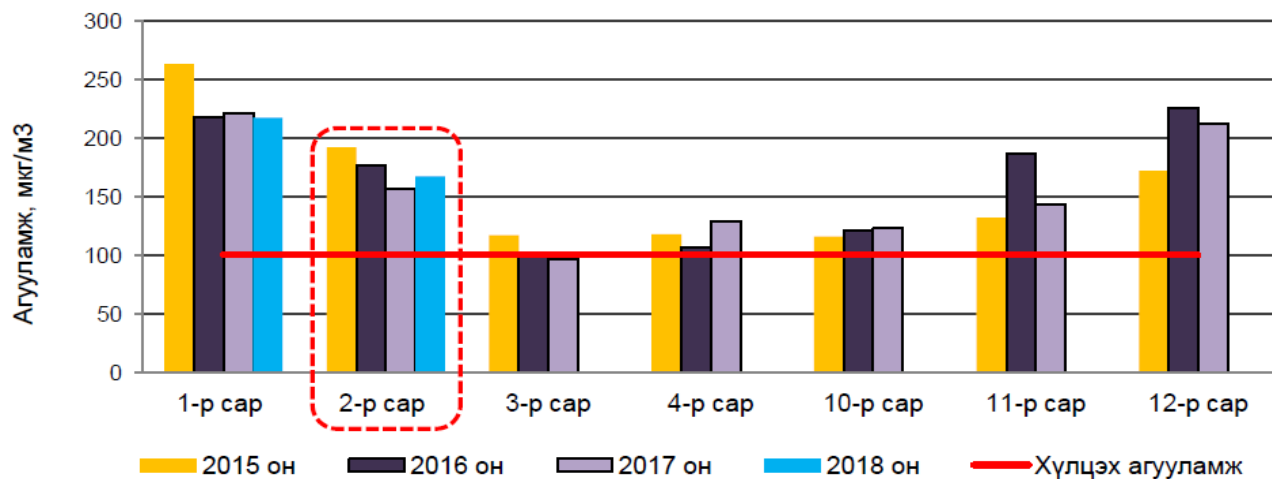
Air quality standard with mean values

Бохирдуулах бодисын нэр	Агаарын чанарын стандарт MNS 4585:2016	Дундаж агууламж, мкг/м ³	
	Хүлцэх агууламж, мкг/м ³	2016 оны 10-12-р сар, 2017 оны 1-2-р сарын дундаж	2017 оны 10-12-р сар, 2018 оны 1-2-р сарын дундаж
PM10 тоосонцор	100	182	172↓
PM2.5 тоосонцор	50	149	138↓
Хүхэрлэг хий, SO ₂	50	53	39↓
Азотын давхар исэл, NO ₂	50	53	50↔

The wind speed and direction in Ulaanbaatar is usually traveling from northwest direction and the speeds decreasing to 1 to 2 m/s when an air mass passes through Ulaanbaatar. This implies that polluted air does not rapidly move far away from the city.

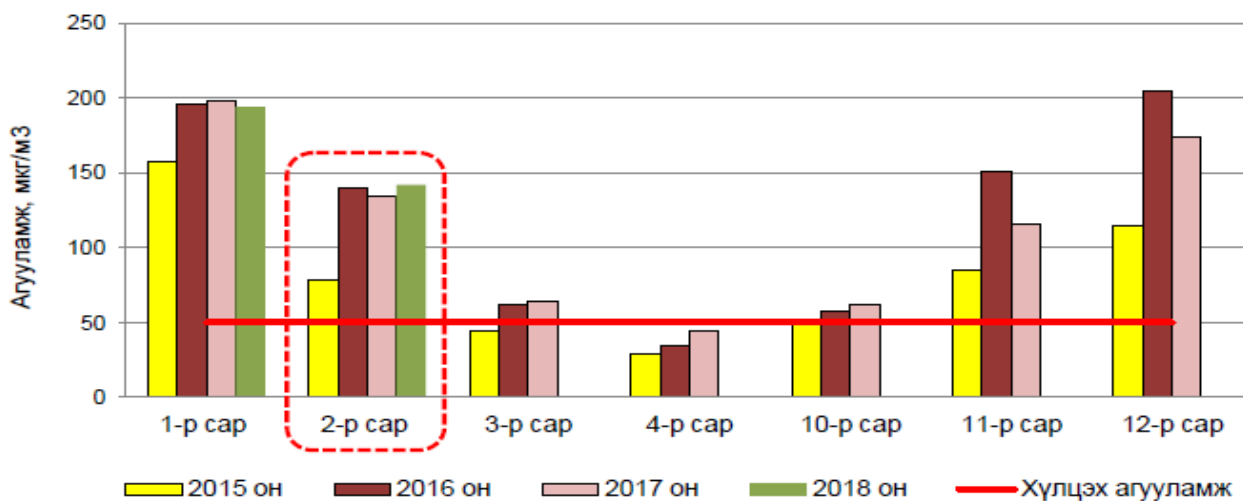


PM10 тоосонцор



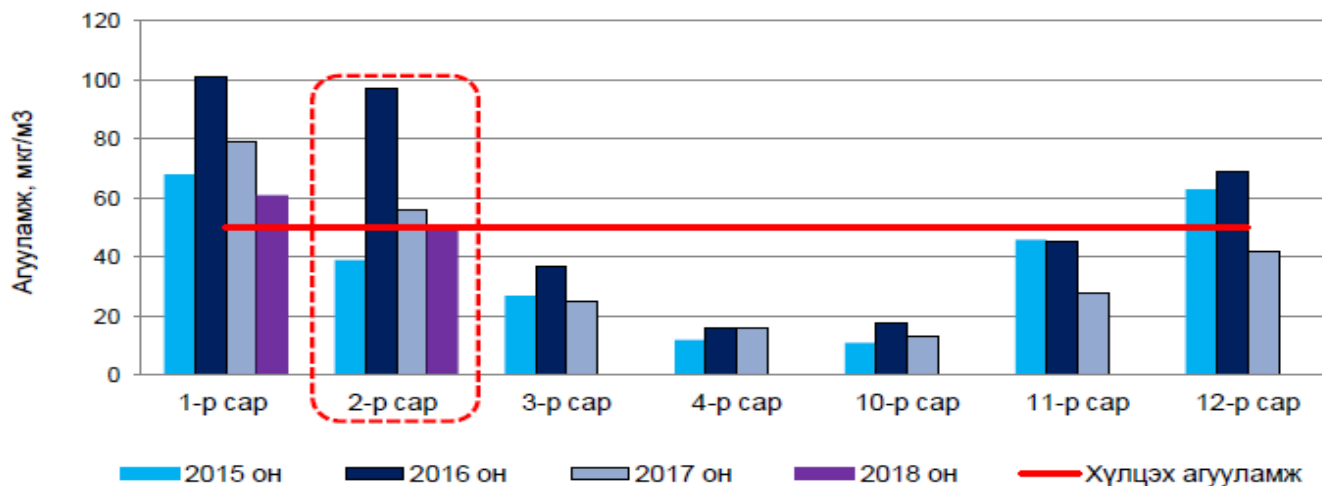
Зураг 1. Хүйтний улирлын PM10 тоосонцрын сарын дундаж агууламж, 2015-2018он

PM2.5 тоосонцор



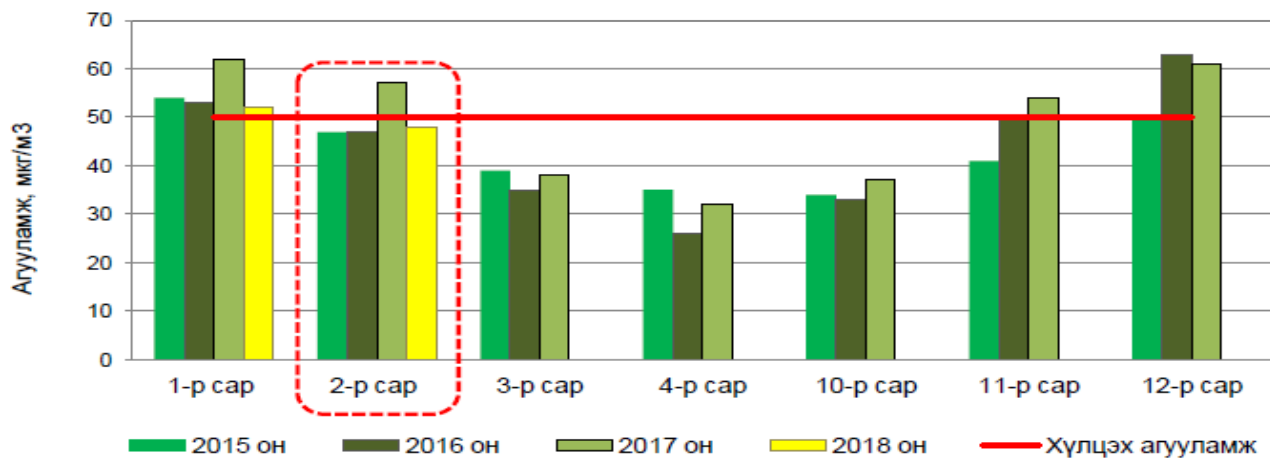
Зураг 2. Хүйтний улирлын PM2.5 тоосонцрын сарын дундаж агууламж, 2015-2018он

Хүхэрлэг хий (SO_2)



Зураг 3. Хүйтний улирлын хүхэрлэг хийн сарын дундаж агууламж, 2015-2018 он

Азотын давхар исэл (NO_2)



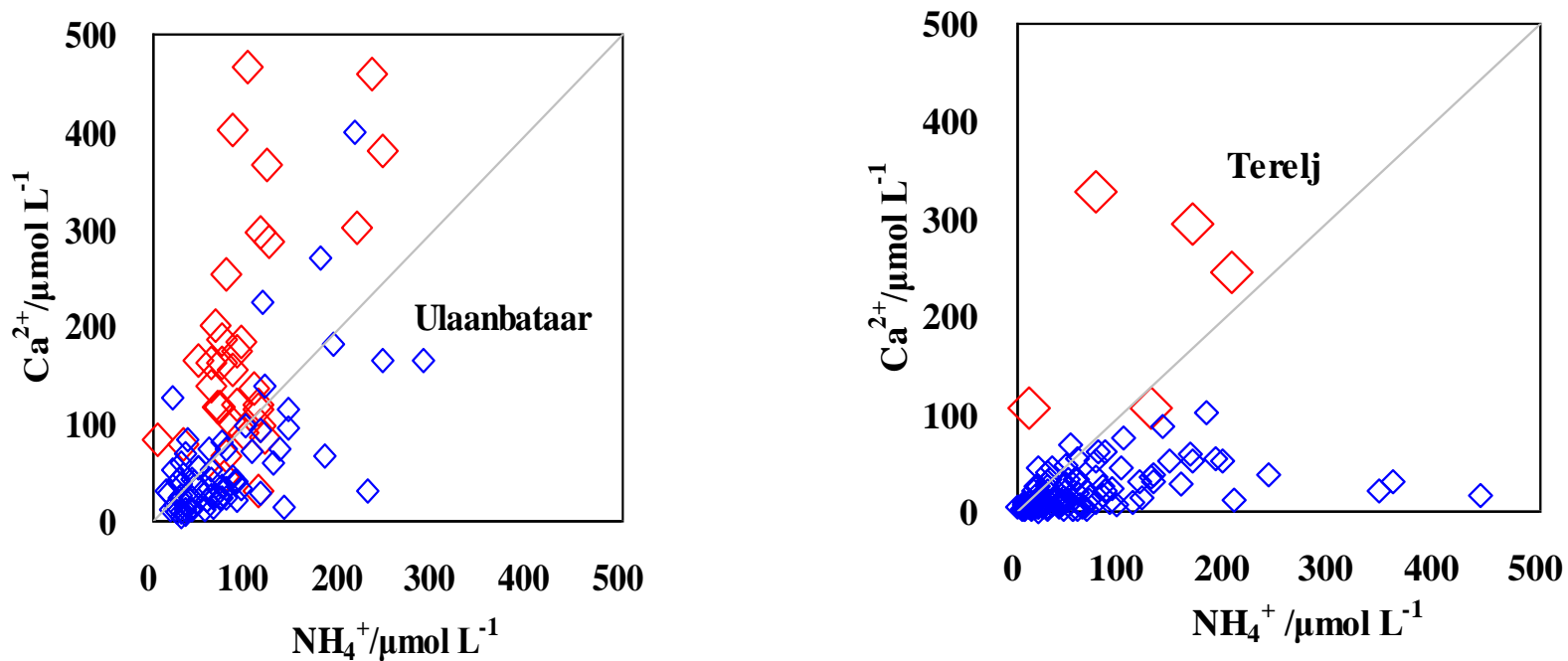
Зураг 4. Хүйтний улирлын азотын давхар ислийн сарын дундаж агууламж, 2015-2017 он

1. Precipitation Chemistry in Mongolia

M. Yamada¹, Bulgan², S. Alimaa², I. Noguchi³, and H. Hara¹

2. Evaluation of Acid Rain for the Central Mongolia

T.Bulgan

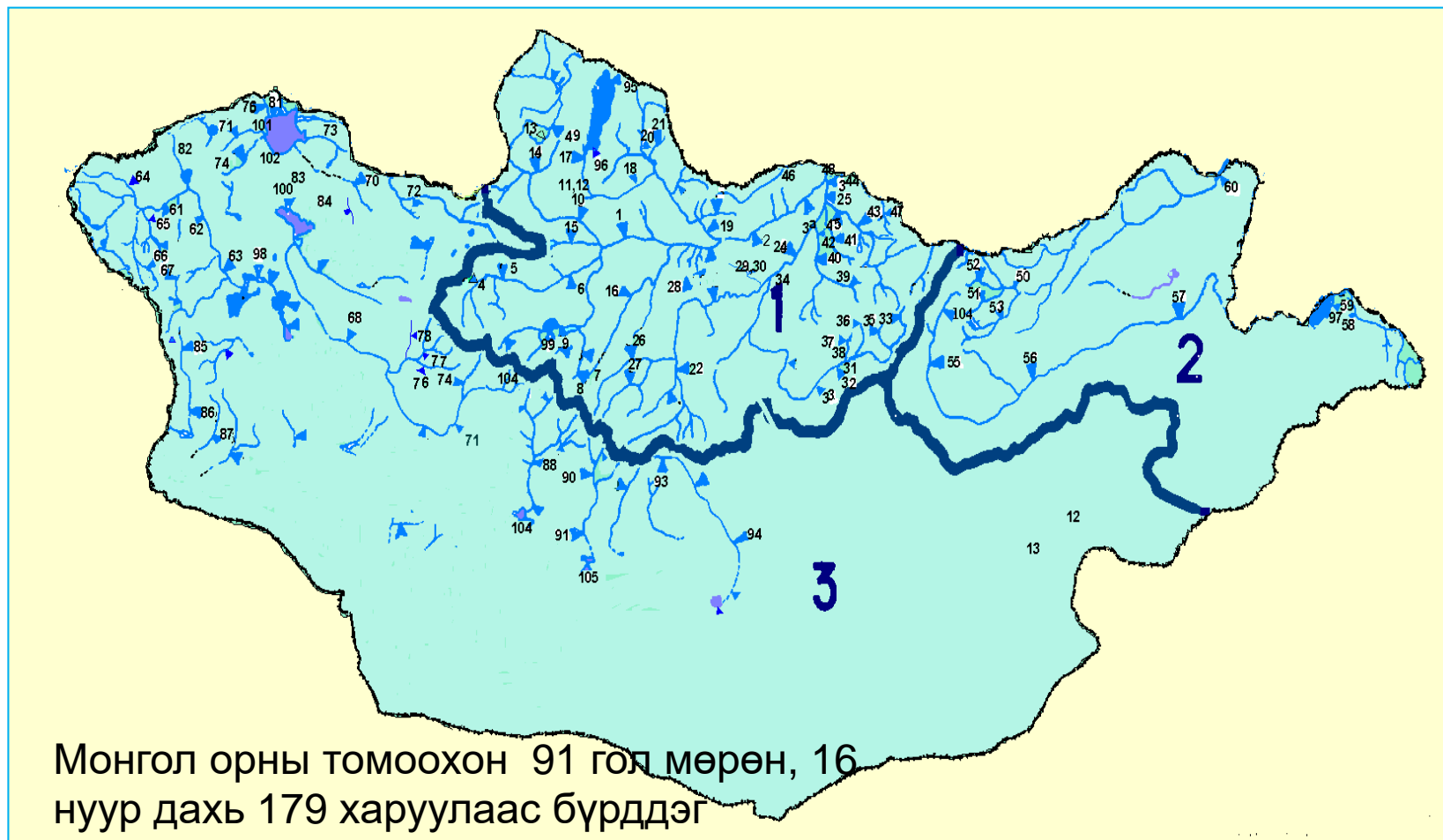


nss- Ca^{2+} concentration against NH_4^+ in Ulaanbataar (left) and Terelj (right)

◇: pH ≥ 6.0 , ◇: pH < 6.0 .

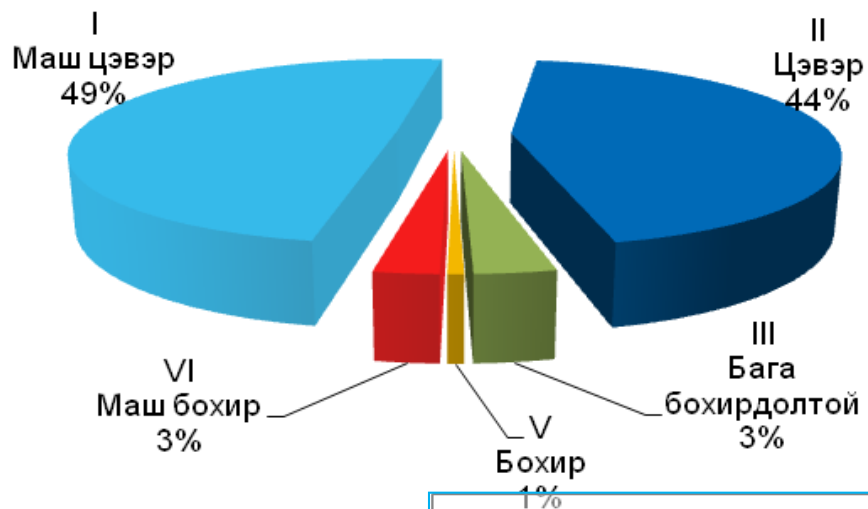
In remote area, NH_4 was the most predominant cation, which accounts in average for 44% of its cation total while in Ulaanbaatar, Ca^{2+} was the predominant with 51% accounts due to alkaline dust effects.

WATER POLLUTANTS – УС БОХИРДУУЛАХ БОДИС

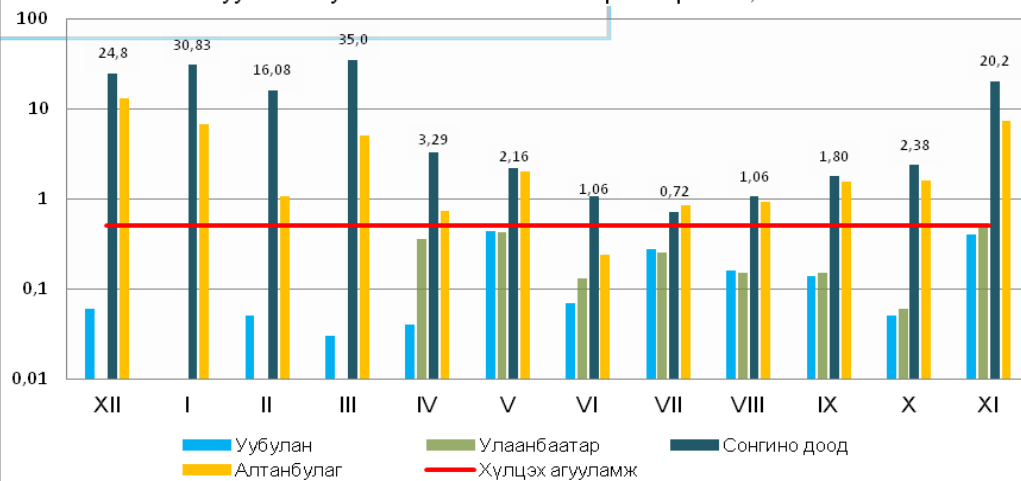




Гадаргын усны чанарын үнэлгээ, 2014



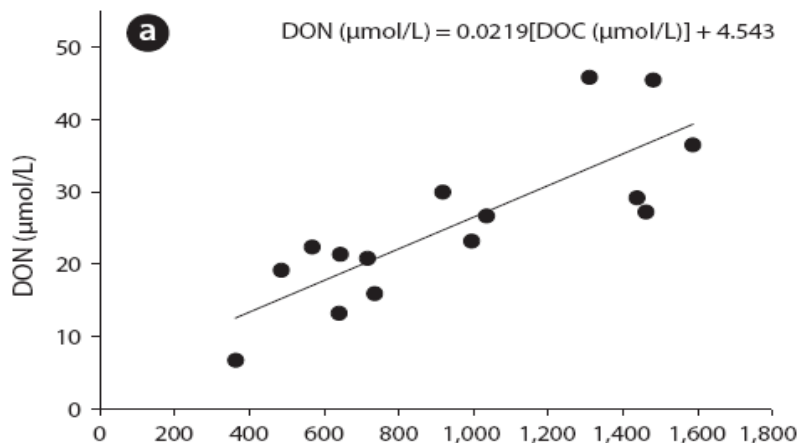
Туул голын усны аммонийн азотын сарын өөрчлөлт, 2014



Patterns in solute chemistry of six inlet streams to Lake Hövsgöl, Mongolia

Tamir Puntsag¹, Jeffrey S. Owen^{2,5,*}, Myron J. Mitchell³, Clyde E. Goulden⁴ and Patrick J. McHale³

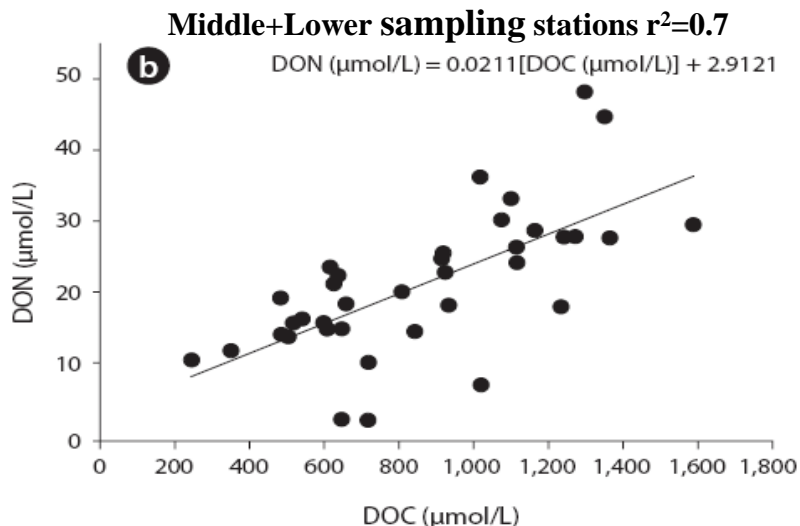
Upper sampling stations $r^2=0.5$



Differences in solute concentrations among these streams can possibly be affected by livestock grazing, and also affected by the thickness of the permafrost active layer and general soil characteristics in the sub watersheds.

One implication of our study is that as air temperature increases and permafrost active layer depths increase in this watershed, recently-thawed soils may act as a source of both dissolved inorganic and organic N to streams.

Understanding the relationship between soil C/N ratios and surface chemistry will be required in future studies.



High-levels of microplastic pollution in a large, remote, mountain lake



Christopher M. Free^{a,*}, Olaf P. Jensen^a, Sherri A. Mason^b, Marcus Eriksen^c, Nicholas J. Williamson^b, Bazartseren Boldgiv^d

^aInstitute of Marine and Coastal Sciences, Rutgers University, 71 Dudley Road, New Brunswick, NJ 08901, USA

^bDepartment of Chemistry, State University of New York College at Fredonia, 280 Central Avenue, Fredonia, NY 14063, USA

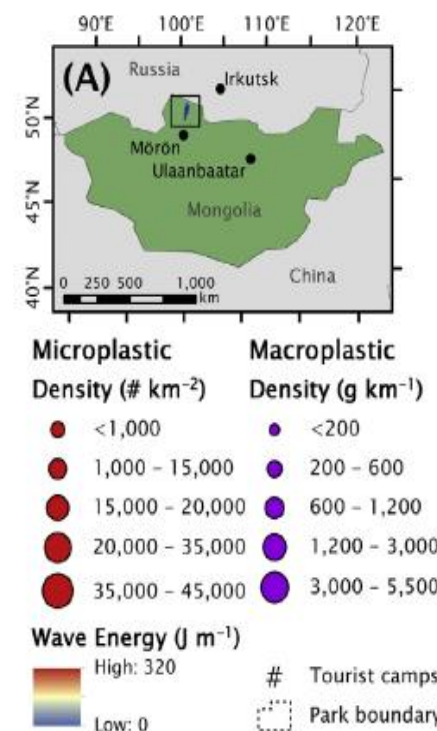
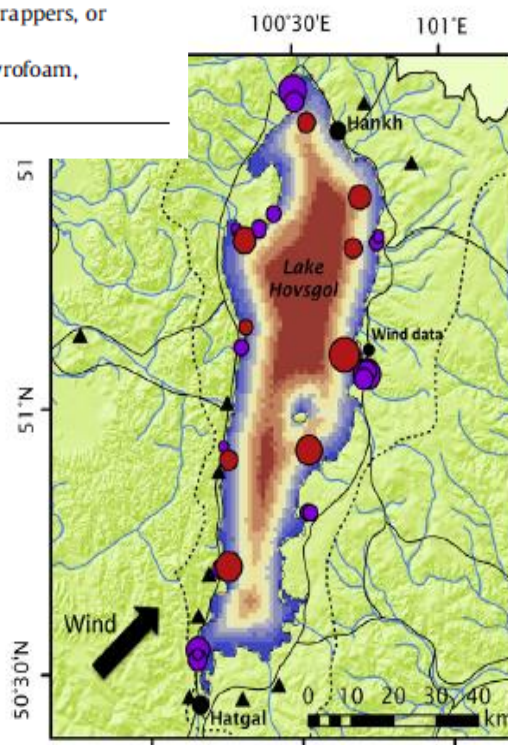
^c5 Gyres Institute, 2122 S. Spaulding Avenue, Los Angeles, CA 90016, USA

^dDepartment of Biology, School of Arts and Sciences, National University of Mongolia, Ulaanbaatar 14201, Mongolia

TABLE 1
Definitions and potential sources of microplastic types.

Microplastic type	Definition	Potential sources
Fragment	Hard, jagged plastic particle	Bottles; hard, sturdy plastics
Line/fiber	Thin or fibrous, straight plastic	Fishing line/nets; clothing or textiles
Pellet	Hard, rounded plastic particle	Virgin resin pellets; facial cleansers
Film	Thin plane of flimsy plastic	Plastics bags, wrappers, or sheeting
Foam	Lightweight, sponge-like plastic	Foam floats, Styrofoam, cushioning

C.M. Free et al. / Marine Pollution Bulletin 85 (2014) 156–163



Despite the large and growing literature on microplastics in the ocean, little information exists on microplastics in freshwater systems. This study is the first to evaluate the abundance, distribution, and composition of pelagic microplastic pollution in a large, remote, mountain lake. We quantified pelagic microplastics and shoreline anthropogenic debris in Lake Hovsgol, Mongolia. With an average microplastic density of 20,264 particles km^{-2} , Lake Hovsgol is more heavily polluted with microplastics than the more developed Lakes Huron and Superior in the Laurentian Great Lakes. Fragments and films were the most abundant microplastic types; no plastic microbeads and few pellets were observed. Household plastics dominated the shoreline debris and were comprised largely of plastic bottles, fishing gear, and bags. Microplastic density decreased with distance from the southwestern shore, the most populated and accessible section of the park, and was distributed by the prevailing winds. These results demonstrate that without proper waste management, low-density populations can heavily pollute freshwater systems with consumer plastics.

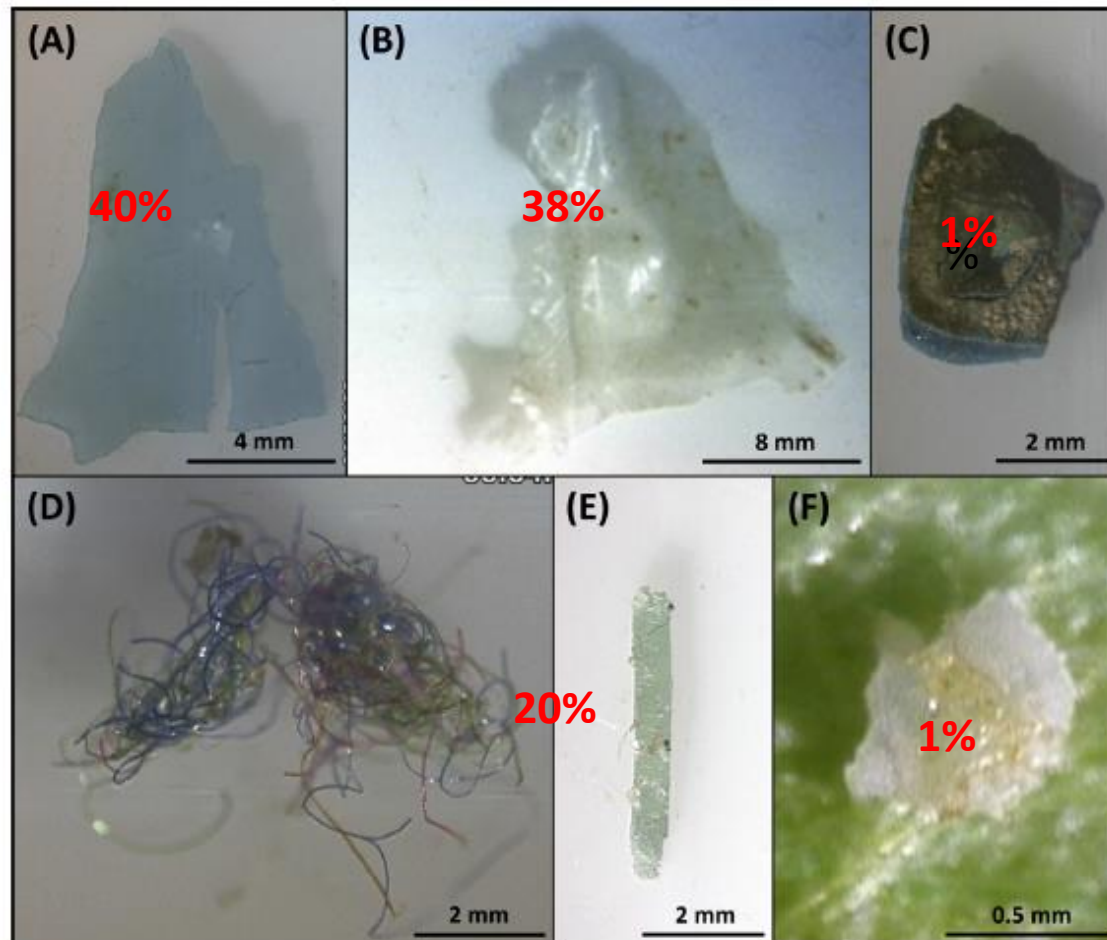


Fig. 3. Photographs of (A) fragment, (B) film, (C) foam, (D) fiber, (E) line, and (F) pellet microplastics observed in the manta trawl samples.

Geochemical distribution of trace element concentrations in the vicinity of Boroo gold mine, Selenge Province, Mongolia

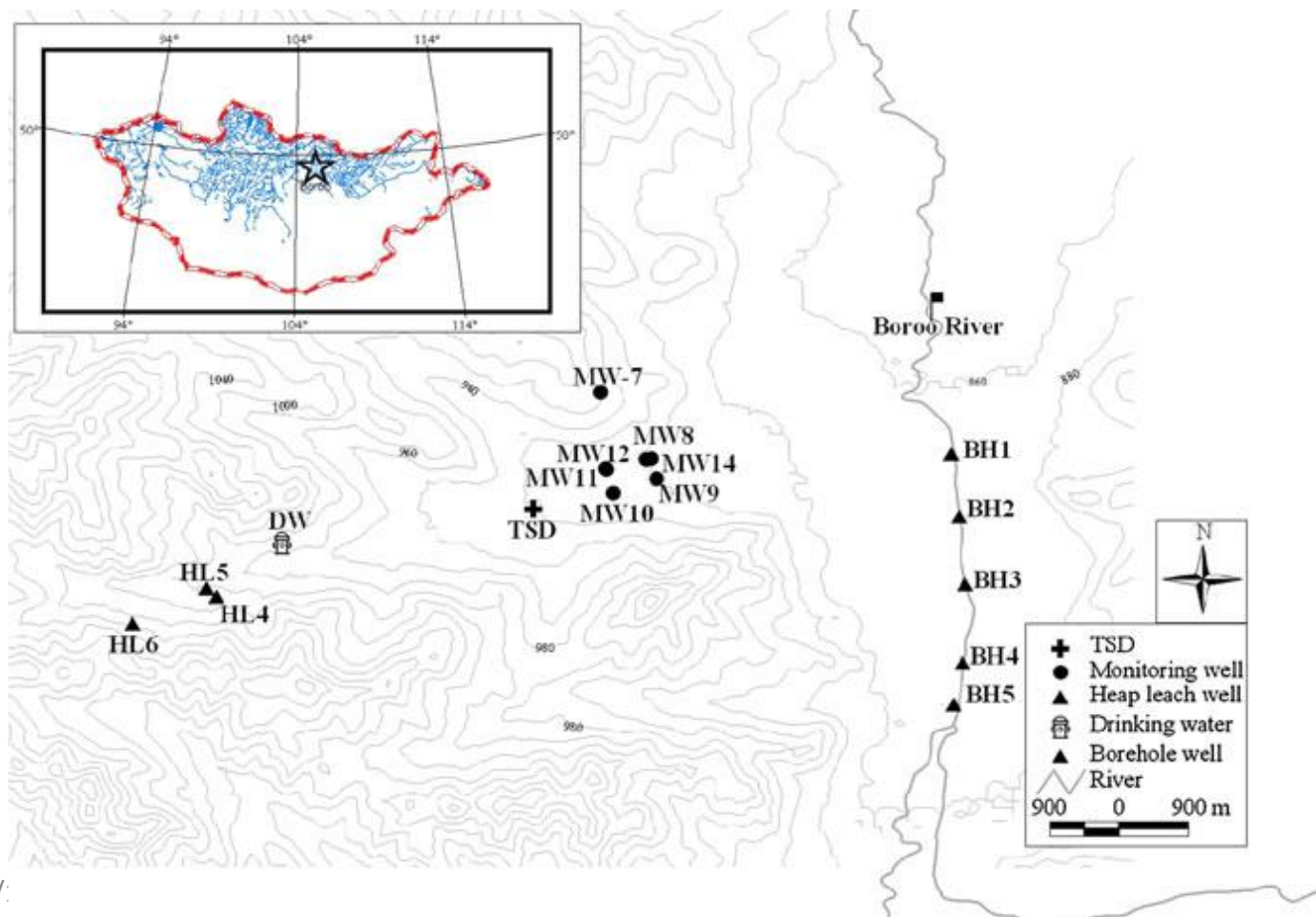


Table 3 Ranges and averages of As and heavy metal concentrations in tailing dam sediment and soils (units in mg/kg) in the vicinity of Boroo gold mine, Mongolia

	As	Cd	Cu	Ni	Pb	Zn
Tailing dam sediment	3917–4920 4419	51.8–65.1 58.5	53.9–58.2 56.0	2.9–6.8 4.8	17.3–23.9 20.6	22.1–29.3 25.7
Tailing dam area soil	3.4–9.0 6.2	nd ^d	11.0–15.1 12.6	15.6–18.8 17.2	7.1–7.4 7.3	38.0–45.0 41.0
Heap leach area soil	8.6–261.4 102.3	nd	10.0–15.0 12.5	11.5–21.0 17.4	8.5–18.3 14.4	46.0–56.0 50.0
Borehole area soil	6.3–9.9 8.3	nd	18.0–29.0 22.5	21.6–26.2 23.0	9.2–13.1 10.9	55.0–72.0 60.6
Control area	3.4–3.7 3.6	nd	10.0–20.0 15.0	17.1–21.1 19.1	7.8–8.2 8.0	41.0–43.0 42.0
Mongolia soil standard ^a	6.0	3.0	100	150	100	300
Natural soil ^b	6.0	0.4	30		35	90
Tolerable level ^c	20	3.0	100	150	100	300

^a MNS 5850:2008 Mongolian standard (2008)^b Bowen (1979)^c Kabata-Pendias and Pendias (1984)^d Not detected



Scale/Хар



Biofouling/Гадаргууд
наалдсан нянгийн давхарга



Pollution/БОХИРДОЛТ

Corrosion/КОРРОЗИ



2.What Needs to be Controlled/Ямар зүйлсийг хянахаа тодорхойлох - Хэрэгцээ

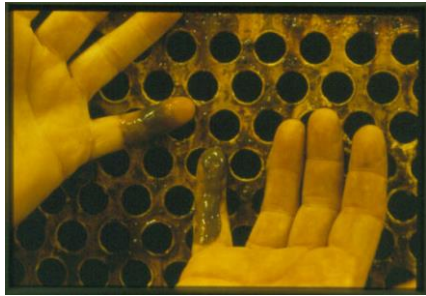







- Химийн нэмэлт бодисууд нь багаж тоног төхөөрөмжийг суурилуулсаны дараа хийгддэг
- Усны системийн найдвартай ажиллагааг хангахын тулд химийн нэмэлтийг байнга тэжээж байхыг шаарддаг
- Усыг дахин боловсруулж ашиглах хамгийн хэцүү (PO_4 , SO_4 , NO_3 , TOC, COD, BOD, NH_3)

3. Ойлгох – Юу буруу болж болох вэ? Үүнийг яаж хяналтанд байлгах

Асуудал - Үр ашгийн буюу найдвартай байдал алдагдах

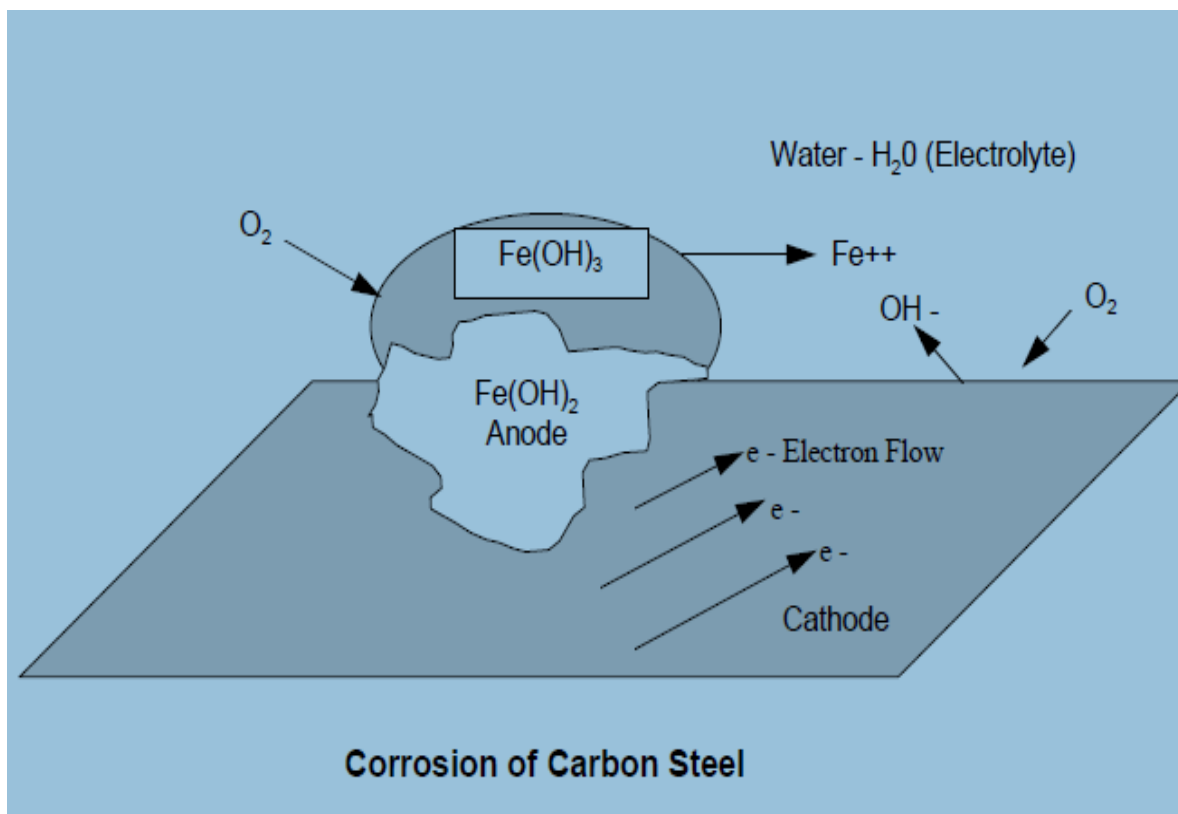
- Үндсэн шалтгаан: эрдэс давстай ус, усны температур өндөр, дулаан солилцогчийн хананы температур өндөр, хадгалагдах хугацаа их,
- Залруулах арга хэмжээ: Хүчтэй хагжилтын болон исэлдэлтийг дарангуйлагч хэрэгтэй. Тохирсон тунг тааруулах. Агаараар бохирдсон шороо, микро организм болон процессын бохирдуулагчдыг багасгах, хяналтын систем

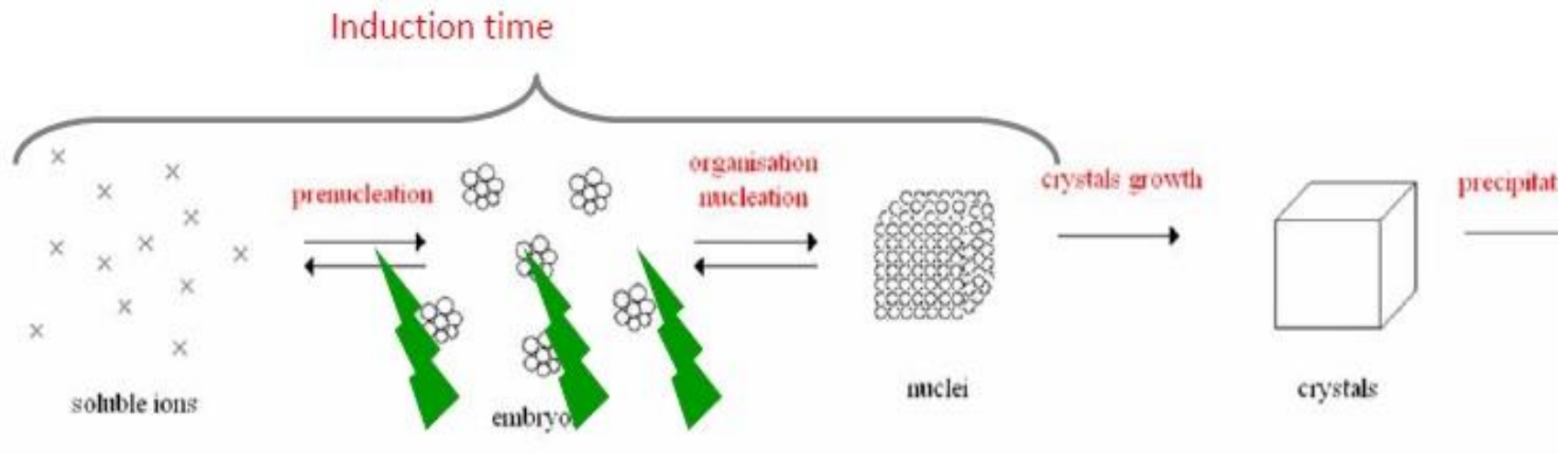


Ашиглагдах бодис	Найрлага	Физик ба химийн шинж чанар	Хор аюулын талаарх мэдээлэл
HYDREX 2254	Цайрын хлорид (ZnCl_2)– 20-30%; Фосфорын хүчил (H_3PO_4) – 30-40%	Тунгалгаас цайвар шар өнгөтэй, усанд уусамтгай, үнэргүй шингэн бодис -pH: <1 -Хайлах температур: <8 °C -Хувийн жин: 1.25 ~ 1.35	
HYDREX 2331	Полиакрилик хүчил ($\text{C}_3\text{H}_4\text{O}_2$) >48%	Цайвар шар өнгөтэй, сулавтар үнэртэй шингэн бодис -pH: 2 ~ 3 -Хайлах температур: -8°C -Хувийн жин: 1.10 ~ 1.20	 
HYDREX 2213	Натрийн толитриазол <25%; Натрийн гидроксид – <0.5% $\text{C}_7\text{H}_7\text{N}_3\text{Na}$; NaOH	- Цайвар шараас улаан шаргал өнгөтэй, сулавтар үнэртэй шингэн бодис -pH: >12 -Хайлах температур: -8°C -Буцлах температур – 108°C -Хувийн жин: 1.12 ~ 1.23	 

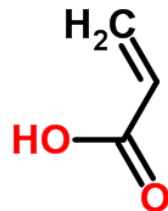
Фосфат ион нь зөөлөн гангийн хувьд анодын зэврэлтийг удаашруулагч. Анодын талбайд төмрийн фосфат болж тунадасждаг.

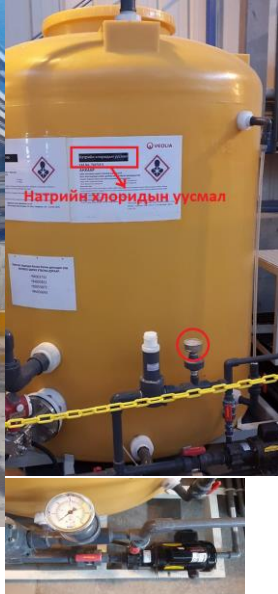
Цайр нь зөөлөн гангийн хувьд катодын зэврэлтийг удаашруулагч. Цайрын гидроксид болж тунадасждаг.





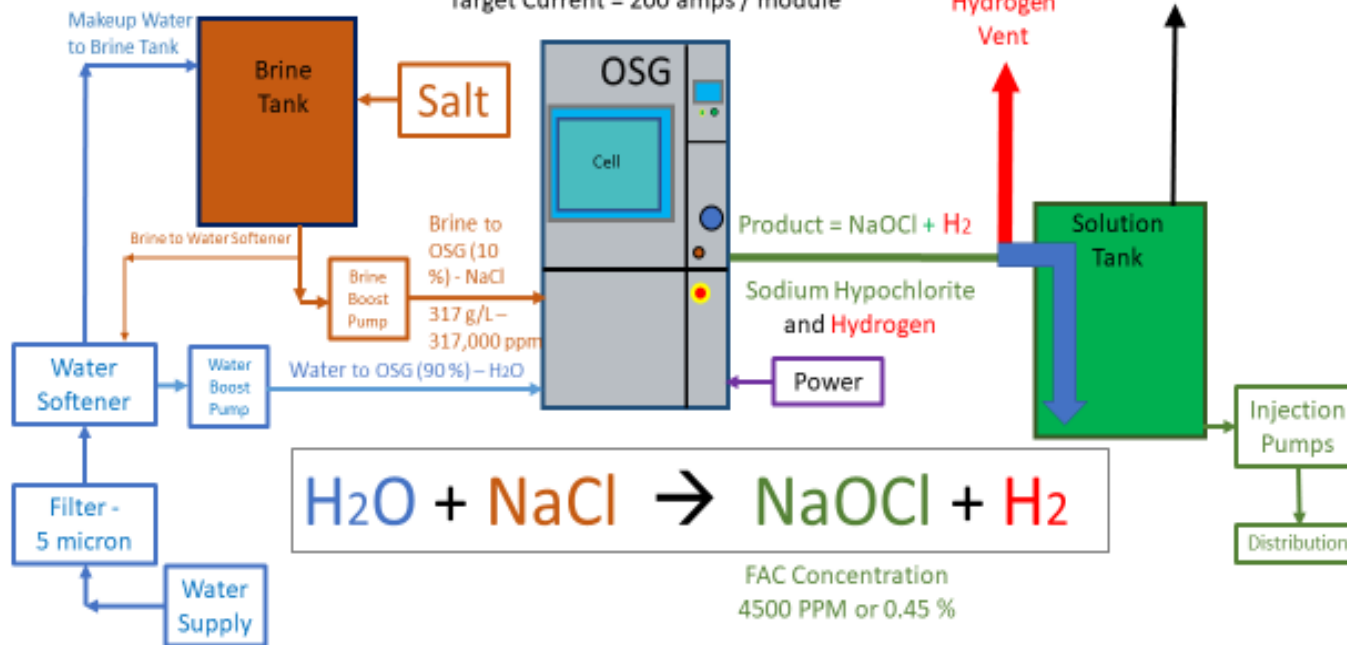
Inhibition/blockage





ON-SITE GENERATION SYSTEM – MIOX CORPORATION

On-site Generator = OSG – Mid Series Mixed Oxidant System - RIO
 Target Current = 200 amps / module

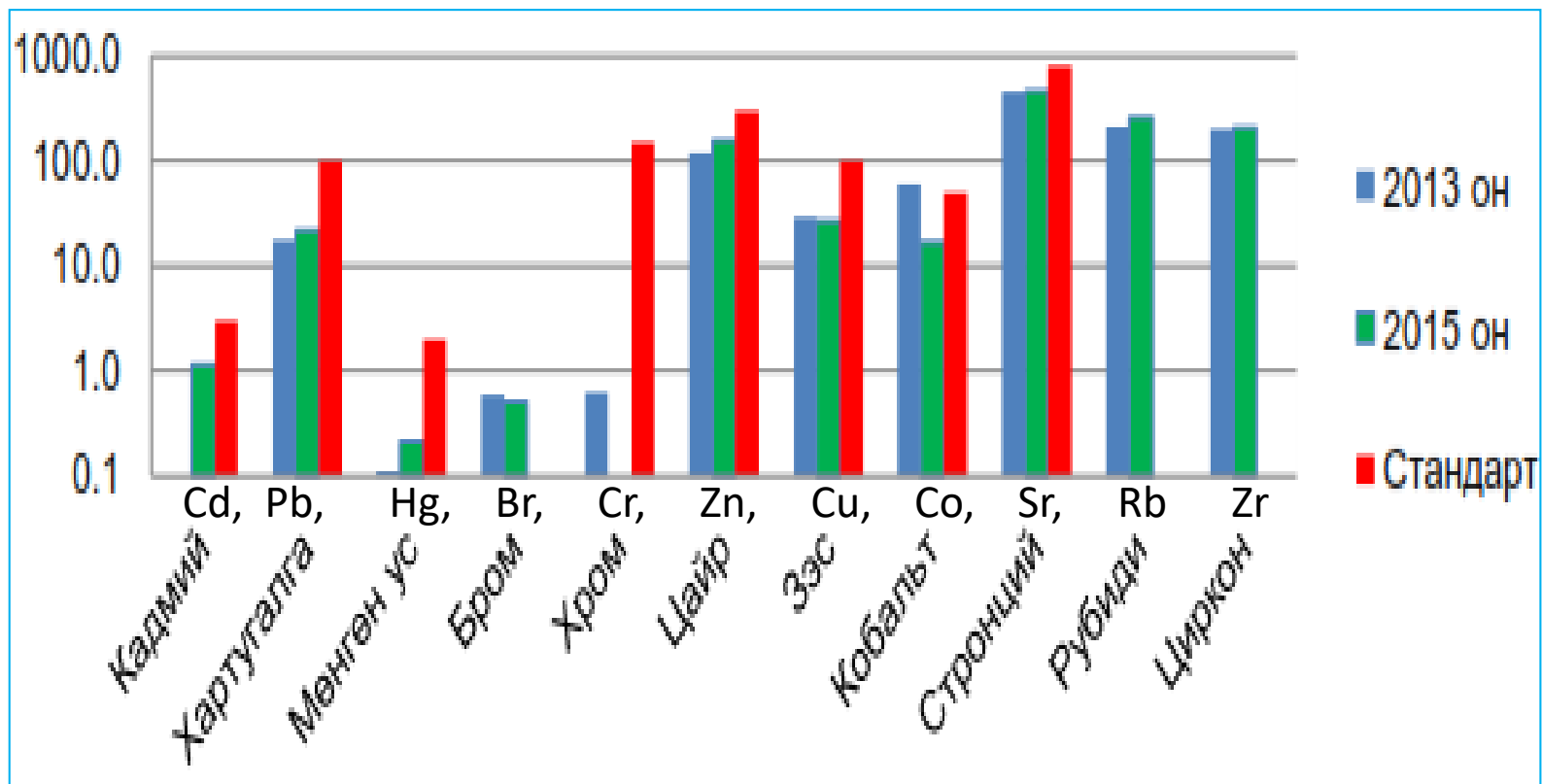


6. Hazards/Risks and Аюул/Эрсдэлүүд

№	Химийн бодис	Аюулын үнэлгээ	Хүний эрүүл мэндэд үзүүлэх нөлөөлөл	Хүрээлэн буй орчинд үзүүлэх нөлөөлөл
1	HYDREX 2254	Их аюултай	3 – Бодисын багахан хэмжээ нь ч эрүүл мэндэд ноцтой гэмтэл учруулж болзошгүй	1 - Бодис нь байгаль орчинд аюултай гэсэн ангилалд багтдаггүй хэдий ч их хэмжээний болон байнгын бодисын асгаралт үүсэх тохиолдолд байгаль орчинд сөрөг нөлөөлөл үзүүлж болзошгүй
2	HYDREX 2331	Бага аюултай	1 – Бодисын нөлөөлөлд өртсөн тохиолдолд эрүүл мэндэд бага зэргийн хор хөнөөл учруулна	1 – Бодис нь байгаль орчинд аюултай гэсэн ангилалд багтдаггүй хэдий ч их хэмжээний болон байнгын бодисын асгаралт үүсэх тохиолдолд байгаль орчинд сөрөг нөлөөлөл үзүүлж болзошгүй



SOIL POLLUTANTS –ХӨРС БОХИРДУУЛАХ БОДИСУУД



Uranium and Fluoride geochemical pathways in Ulaanbaatar and rural Mongolia

Robin Grayson, Baatar Tumenbayar,
Daramsenge Luvsanvandan and Amarsaikhan Lkhamsuren

Robin Grayson^a, Baatar Tumenbayar^b,
Daramsenge Luvsanvandan^c and Amarsaikhan Lkhamsuren^d

^a Independent consultant, Manchester, United Kingdom

^b Sans Frontiere Progres NGO, Sukhbaatar district, Ulaanbaatar, Mongolia

^c Academician of National Academy of Science of Mongolia

^d Environmental consultant, Mongolia



Figure 6 Ar Janchivian bottled water on sale in Ulaanbaatar, October 2nd 2012. This is a gassy Na/Ca/Mg bicarbonate soda water. According to the label, uranium ("Umn") is 0.05 mg/L, radium ("Radi") is 10-18.5 mg/L, fluoride ("Ftorid") is 1.5 mg/L and selenium ("Selen") is 0.05 mg/L.

**Table 10**

Activity concentration of uranium, thorium and potassium in soil samples.
(Data from Shagjjamba and Zuzaan, 2006)

	natural radioactive nuclides in soil – Bq/kg		
	²³⁸ U	²³² Th	⁴⁰ K
Tsetserleg	49.0 ± 5.4	42.2 ± 5.6	1,181.0 ± 82.0
Darkhan	45.1 ± 4.4	32.7 ± 4.3	736.0 ± 53.1
Baruun-Urt	41.4 ± 4.3	50.7 ± 5.6	725.9 ± 52.0
Sukhbaatar	38.6 ± 4.2	36.3 ± 4.9	850.6 ± 57.8
Erdenet	36.6 ± 4.0	30.7 ± 5.0	677.8 ± 54.0
Muren	35.6 ± 3.8	27.3 ± 3.5	897.9 ± 57.0
Khovd	35.0 ± 4.5	39.0 ± 4.9	826.0 ± 67.7
Ulaanbaatar	33.2 ± 9.4	39.0 ± 7.3	881.9 ± 94.3
Dalanzadgad	29.0 ± 4.1	28.0 ± 3.1	778.0 ± 60.7
Mongolia mean	28.2	31.8	840.7
Undurkhaan	25.4 ± 3.1	28.5 ± 3.7	1,031 ± 60.8
World mean	25	25	370
Mandalgovi	23.8 ± 2.9	21.5 ± 3.1	939.0 ± 56.3
Uliastai	23.4 ± 3.7	38.1 ± 5.6	1,330.0 ± 88.3
Sainshand	22.5 ± 3.0	36.4 ± 4.5	780.4 ± 57.3
Bulgan	21.2 ± 3.5	26.3 ± 4.3	895.4 ± 104.3
Zuunmod	20.0 ± 2.9	54.6 ± 5.5	741.5 ± 54.2
Bayanhongor	19.3 ± 2.5	22.2 ± 3.0	781.5 ± 48.1
Altai	18.1 ± 2.4	11.3 ± 2.2	322.4 ± 27.3
Choibalsan	15.5 ± 2.4	13.9 ± 2.6	965.7 ± 60.5
Ulgii	14.2 ± 1.9	25.8 ± 3.3	530.1 ± 36.6